

ΓΕΩΦΥΣΙΚΗ ΕΡΕΥΝΑ ΕΝΤΟΠΙΣΜΟΥ ΘΑΜΜΕΝΩΝ ΑΠΟΛΙΘΩΜΕΝΩΝ ΚΟΡΜΩΝ ΣΤΟ ΑΠΟΛΙΘΩΜΕΝΟ ΔΑΣΟΣ ΣΙΓΡΙΟΥ ΤΗΣ ΝΗΣΟΥ ΛΕΣΒΟΥ*

Γ. ΒΑΡΓΕΜΕΖΗΣ¹, Η. ΦΙΚΟΣ¹, Ι. ΜΕΡΤΖΑΝΙΔΗΣ¹, Ε. ΖΑΝΑΝΙΡΙ¹, Ζ. ΡΟΥΜΕΛΙΩΤΗ¹,
Ν. ΖΟΥΡΟΣ², Ε. ΚΟΝΤΗΣ² ΚΑΙ Η. ΒΑΛΙΑΚΟΣ²

ΣΥΝΟΨΗ

Στην παρούσα εργασία παρουσιάζονται τα πρόδρομα αποτελέσματα της γεωφυσικής έρευνας που πραγματοποιήθηκε στο Απολιθωμένο δάσος στο Σίγρι της Λέσβου με στόχο τον εντοπισμό θαμμένων απολιθωμένων κορμών. Εφαρμόστηκαν μέθοδοι ηλεκτροκής (τομογραφία), μαγνητικής (οριζόντια χαρτογράφηση ολικού μαγνητικού πεδίου) και ηλεκτρομαγνητικής διασκόπησης (υπεδάφιο ραντάρ). Η αποτελεσματικότητα των μεθόδων που εφαρμόστηκαν σε σχέση με το συγκεκριμένο πρόβλημα διαπιστώθηκε σε γνωστούς στόχους όπου έγινε και η βαθμονόμηση των μετρήσεων. Συνέχεια απολιθωμένων κορμών διαπιστώθηκε τόσο με την μέθοδο της ηλεκτροκής τομογραφίας όσο και με τη μαγνητική μέθοδο. Έρευνα πραγματοποιήθηκε και σε περιοχές με μη ορατούς στόχους και προτάθηκαν πιθανές θέσεις για μελλοντική ανασκαφή, έτσι ώστε να βελτιωθούν τα κριτήρια διάκρισης των ανωμαλιών που προκαλούν οι απολιθωμένοι κορμοί στις γεωφυσικές μετρήσεις.

ABSTRACT

Remains of fossil plants, which form the famous «Petrified forest of Lesvos», have been found in many localities on the western part of Lesvos Island. The fossilized forest of Lesvos was developed during Late Oligocene to Lower - Middle Miocene, due to the intense volcanic activity in the area (Velitzelos and Zouros, 1997). The products of the volcanic activity had covered the vegetation of the area and the fossilization process took place due to favorable conditions. The fossilized plants in Lesvos are silicified remnants of a sub-tropical forest that existed on the northwest part of the island 20-15 million years ago.

In the present study the results of the geophysical survey that has been applied to several locations of the petrified forest are presented. Electrical tomography, magnetic mapping and Ground Penetrating Radar methods of geophysical prospecting have been applied.

The surrounding material, which is formed mainly by volcanic ash, contains also volcanic rocks in that size that it could be detected as petrified trunk. So, the effectiveness of the geophysical methods in such an environment has been tested in selected areas where petrified trunks were semi-uncovered.

Lied trunks have been successfully detected by the electric tomography in several cases, since the resistivity of the fossilized material is much higher than the resistivity of the volcanic ash. The horizontal mapping of the total magnetic field in the same cases of lied trunks has been also successful since it was combined with the electric tomography and the anomaly were located in the same place and shape.

Detection of petrified trunks looks to be uncertain in cases of standing trunks. That, because anomaly of the same pattern could be produced by an intrusion of a rock which the magnetic susceptibility is lower than this of the fossilized material. The same problem has been noticed also to the GPR (Ground Penetrating Radar) data.

Several positions to be excavated have been proposed.

ΑΞΕΣΙΣ ΚΛΕΙΔΙΑ: απολιθωμένο δάσος, ηλεκτροκής μέθοδοι, μαγνητικές μέθοδοι, ραντάρ

KEY WORDS: petrified forest, geoelectrical survey, magnetic survey, radar.

1. ΕΙΣΑΓΩΓΗ

Στο δυτικό άκρο της νήσου Λέσβου, στο Σίγρι, έχει αποκαλυφθεί ένα τμήμα του απολιθωμένου δάσους ηλικίας 20.000.000 ετών (Βελτζέλος και συνεργάτες, 1999). Το 1994 ιδρύθηκε το Μουσείο Φυσικής Ιστορίας Απολιθωμένου Δάσους Λέσβου με σκοπό την μελέτη, έρευνα, ανάδειξη, συντήρηση και φιλαξίη του Απολιθω-

* GEOPHYSICAL SURVEY TO THE PETRIFIED FOREST OF SIGRI IN LESVOS ISLAND (NORTH AEGEAN)

1. Geophysical Laboratory, 540 00 KROTHI, Messenian Gulf, GREECE.

2. Natural History Museum of Lesvos' Petrified Forest, Sigri, Lesvos Island, GR- 811 12, Greece. Email: lesvospf@otenet.gr

μένου Δάσους της Λέσβου που έχει χαρακτηρισθεί διατηρητέο μνημείο της Φύσης. Οι χώροι ανασκαφών βρίσκονται στην περιοχή του Πάροκου του Απολιθωμένου δάσους στη Θέση «Μπαλή Αλάνια», όπου παρατηρείται η μεγαλύτερη συγκέντρωση απολιθωμένων δένδρων, στο Πάροκο Απολιθωμένου Δάσους Σιγρέου καθώς και στην περιοχή Αντισσας. Οι ανασκαφές που έχουν γίνει στην περιοχή έχουν αποκαλύψει σημαντικό πλήθος απολιθωμένων κορμών που ποικίλουν τόσο σε σχέση με το μέγεθος δύο και σε σχέση με την θέση στην οποία βρίσκονται (Βελτζέλος και συνεργάτες, 1999).

Οι μέχρι τώρα ανασκαφές γίνονται με βάση τις επιφανειακές εμφανίσεις τημάτων των κορμών ή με βάση τα στοιχεία της χαρτογράφησης που πραγματοποιείται από τους γεωλόγους του Μουσείου Φυσικής Ιστορίας. Γεωφυσικές μέθοδοι εντοπισμού θαμμένων αρχαιοτήτων εφαρμόζονται στην Ελλάδα τα τελευταία 20 χρόνια. Με σημαντικό βαθμό επιτυχίας εφαρμόζονται σε σημαντικούς αρχαιολογικούς χώρους όπως το Δίον, η Βεργίνα, ο Κεραμεικός, η Μαντινεία και πολλοί άλλοι αρχαιολογικοί χώροι (Tsokas et al, 1994; Tsokas et al, 1995; Savvaidis et al, 1999). Η εφαρμογή γεωφυσικών μεθόδων επιτρέπει την μη καταστροφική έρευνα σε μία περιοχή, με λήψη μετρήσεων από την επιφάνεια, η οποία καταλήγει στον εντοπισμό της ακριβούς θέσης θαμμένων δομών αρχαιολογικού ενδιαφέροντος και καθοδηγεί το πρόγραμμα των ανασκαφών. Την δυνατότητα αυτή την δίνουν οι διαφορετικές φυσικές ιδιότητες των αρχαιολογικών στόχων σε σχέση με τον περιβάλλοντα χώρο. Δεδομένου ότι οι απολιθωμένοι κορμοί στο Σίγρι αναμένεται να εμφανίζουν κάποιες φυσικές ιδιότητες διαφορετικές από το υλικό περιβάλλον που τους φιλοξενεί, η ερευνητική ομάδα του Εργαστηρίου Γεωφυσικής του Αριστοτελείου Πανεπιστημίου Θεσσαλονίκης εργάστηκε στην περιοχή έρευνας με σκοπό α) τη μελέτη των γεωφυσικών ιδιοτήτων των κορμών και του περιβάλλοντος υλικού και β) την πιλοτική εφαρμογή διαφόρων γεωφυσικών μεθόδων σε επιλεγμένους στόχους. Ο εξοπλισμός που χρησιμοποιήθηκε επέτρεψε την εφαρμογή ηλεκτρικών, μαγνητικών και ηλεκτρομαγνητικών μεθόδων.

2. ΜΑΓΝΗΤΙΚΗ ΜΕΘΟΔΟΣ

Κατά την εφαρμογή της μαγνητικής διασκόπησης πραγματοποιήθηκαν μετρήσεις του ολικού μαγνητικού πεδίου σε κορυφές κανανάου και χαρτογραφήθηκαν οι καμπύλες ίσων τιμών του πεδίου. Δεδομένου ότι το ολικό μαγνητικό πεδίο υπόκειται σε κανονικές ημερήσιες μεταβολές οι τιμές διορθώνονται έτσι ώστε οποιαδήποτε μεταβολή που παρατηρείται στον χάρτη των ισοκαμπτύλων να οφελείται μόνο σε χωρικές μεταβολές του πεδίου και όχι σε χρονικές. Οι κορμοί αποτελούνται σε ποσοστό 95% από πυριτικά ορυκτά ενώ περιβάλλονται από επικλαστικούς σχηματισμούς που κατά βάση αποτελούνται από αργιλικό υλικό ενώ περιέχονται και σιδηρομαγνητιστικά ορυκτά (βιοτίτη, κεροστιλβη). Με βάση τα στοιχεία αυτά αναμένεται αρνητική αντίθεση μαγνητισμού των κορμών. Το γεγονός αυτό αποτέλεσε και τον αρχικό προβληματισμό για την αποτελεσματικότητα της μεθόδου στο συγκεκριμένο πρόβλημα, δεδομένου ότι στα στρώματα που καλύπτουν τα δέντρα περιέχονται τεμάχια λάβας σε διάφορα μεγέθη και σχήματα. Η λάβα λόγω της σύστασής της αναμένεται να παρουσιάζει ισχυρή ανωμαλία η οποία θα εκφράζεται ως μαγνητικό δίπολο. Δυσκολίες αναμένεται να αντιμετωπιστούν στην διάκριση μεταξύ των αρνητικών ανωμαλιών των κορμών και των ανωμαλιών των ογκώλιθων της λάβας. Για τη ερμηνεία των μαγνητικών δεδομένων και την κατασκευή απ' ευθείας μοντέλων μαγνητικών ανωμαλιών πραγματοποιήθηκαν *in situ* μετρήσεις της μαγνητικής επιδεκτικότητας των απολιθωμένων κορμών και των περιβαλλόντων πετρωμάτων. Προέκυψαν οι παρακάτω τιμές:

Πρώτος ορίζοντας επικλαστικών υλικών	$K = 1100 \times 10^{-5}$ SI
Δεύτερος ορίζοντας επικλαστικών υλικών	$K = 50 \times 10^{-5}$ SI
Βολίδες μέσα στον δεύτερο ορίζοντα	$K = 1500-6000 \times 10^{-5}$ SI
Βράχος μέσα στον πρώτο ορίζοντα	$K = 1000 \times 10^{-5}$ SI
Ηφαιστειακή διείσδυση	$K = 1000 \times 10^{-5}$ SI
Ρίζα απολιθωμένου κορμού	$K = 5-35 \times 10^{-5}$ SI
Περιβάλλοντας βράχος (στη ρίζα)	$K = 100-300 \times 10^{-5}$ SI
Η διακριτική ικανότητα του οργάνου που χρησιμοποιήθηκε είναι της τάξης των $5 \cdot 10^{-5}$ SI.	

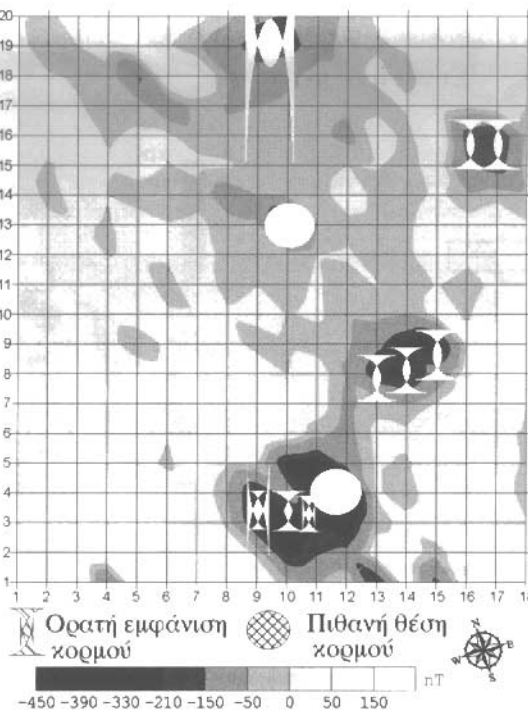
Παράδειγμα 1.

Στο παράδειγμα εφαρμογής της μεθόδου που παρουσιάζεται παρακάτω πραγματοποιήθηκε δειγματοληψία σε κάνναβο 20'20 με βήμα 1m. Μετά από την επεξεργασία των μετρήσεων (ημερήσια διόρθωση και αφαίρεση της μέσης από κάθε μέτρηση) προέκυψε ο "μαγνητικός χάρτης" των παρακάτω σχημάτων. Κατά την διάρκεια των μετρήσεων καταγράφηκε μεταβολή της ολικής έντασης του μαγνητικού πεδίου κατά 14πt.

βού-
ίται
και
θος
σοία

άση
ίας.
να.
γύ-
95;
ιο-
ρων
ην
δο.
ρε-
ου
ων
γή

ού
το
ί-
ν-
π-
ι-
σ-
α-
ι-
ν-
/



Σχ. 1 Μαγνητικός χάρτης καννάβου στο πάρκο Μουσείου. Οι ελλείψεις με τις γραμμές αντιστοιχούν σε ορατούς κορδούς και οι ελλείψεις με τετράγωνα δείχνουν πιθανές θέσεις από θαμμένους απολιθωμένους κορδούς.

Fig. 1. Magnetic mapping of the total magnetic field in the park of the Museum of Sigri. Rounds with lines correspond to visible trunks and rounds with squares show probable existence of fossilized trunks.

Παρατηρήθηκαν αρκετές πηγές αρνητικών μαγνητικών ανωμαλιών της τάξης των 100-450nT. Η μορφή των μαγνητικών ανωμαλιών δεν είναι διπολική. Πρέπει να ληφθούν υπόψη ότι (α) στο σύνολο τους οι κορδοί απολιθωμένων δέντρων που εμφανίζονται στη συγκεκριμένη θέση είναι κατακόρυφοι, και (β) οι κορδοί βρίσκονται σε σκάμπατα βάθους 50 εκατοστών, οπότε οι κορδοί περιβιάλλονται από αέρα (η πάνω επιφάνεια των κορδών που βρίσκονται σε σκάμπατα εξέχει 30-100 cm από το έδαφος). Από το σχήμα 1 προκύπτουν οι παρακάτω παρατηρήσεις:

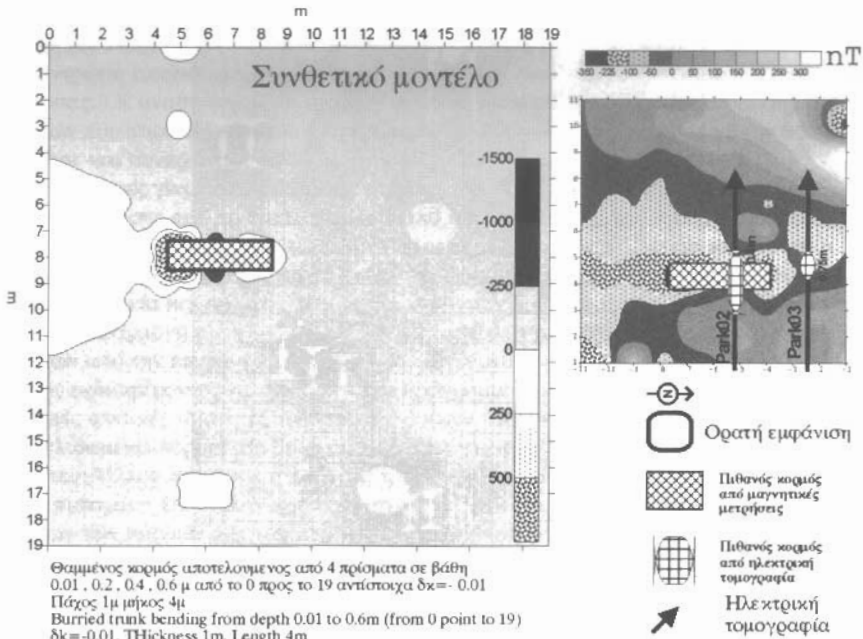
Οι μαγνητικές ανωμαλίες στην περίπτωση των ορατών επιφανειακών στόχων, εμφανίζονται σαν αρνητικές και περιβιάλλονταν κυκλικά τον κορδό.

Ταυτόχρονα, αρνητικές μαγνητικές ανωμαλίες παρατηρούνται και σε θέσεις όπου δεν υπάρχει επιφανειακή εμφάνιση κορδού. Οι παρατηρημένες μαγνητικές ανωμαλίες είναι σχεδόν κυκλικές, γεγονός που μπορεί να οφείλεται σε κατακόρυφο επιμήκης σώμα που συμφωνεί με την περίπτωση των κατακόρυφων κορδών.

Η ομοιότητα της μορφής των μαγνητικών ανωμαλιών που παρατηρήθηκαν σε θέσεις χωρίς επιφανειακή εμφάνιση κορδού, με τις αποδειγμένες ανωμαλίες που οφείλονται σε απολιθωμένους κορδούς, συνηγορεί υπέρ της άποψης ότι πιθανώς και στις θέσεις αυτές υπάρχουν θαμμένοι κατακόρυφα ιστάμενοι κορδοί, και μπορούν να αποτελέσουν πιθανές μελλοντικές θέσεις εκσκαφής.

Παράδειγμα 2.

Στο πάρκο του απολιθωμένου δάσους συναντάται επιφανειακή εμφάνιση κατακείμενου κορδού, που αποκαλύφθηκε λόγω της διάβρωσης του εδάφους. Ο κορδός εμφανίζει διάμετρο περίπου 1 μέτρου ενώ η παράλληλη με τον άξονα του εμφάνιση είναι περίπου 1,2 μέτρα. Στη θέση αυτή πραγματοποιήθηκαν μαγνητικές μετρήσεις και στη συνέχεια πραγματοποιήθηκαν και ηλεκτρικές τομογραφίες.



Σχ.2 Μαγνητικός χάρτης καννάβου περιοχής πάρκου απολιθωμένου δάσους. Στο αριστερό μέρος παρουσιάζεται το συνθετικό μοντέλο που κατασκευάστηκε με στόχο τη συσχέτιση με τις πραγματικές μαγνητικές μετρήσεις και τα αποτελέσματα της ηλεκτρικής τομογραφίας που παρουσιάζονται στο δεξιό μέρος.

Fig. 2. Magnetic mapping in the park of the Petrified Forest. On the left the forward modeling of the anomaly produced by a buried trunk is presented and on the right the magnetic data and the results of the electrical tomography.

Οι μετρήσεις του ολικού μαγνητικού πεδίου έγιναν σε κάνναβο διαστάσεων 10×10 μέτρα με βήμα δειγματοληψίας 1 μέτρο. Το αποτέλεσμα φαίνεται στο Σχήμα 2 όπου χαρτογραφήθηκαν οι διαφορές του διορθωμένου ολικού πεδίου από τη μέση στάθμη του καννάβου. Στο ίδιο σχήμα φαίνεται η επιφανειακή εμφάνιση των κορμών και οι θέσεις των τομογραφικών οδεύσεων Park02 και Park03 μαζί με τις θέσεις των ανωμαλιών τους όπως περιγράφηκαν παραπάνω. Για την καλύτερη ερμηνεία των μαγνητικών μετρήσεων πραγματοποιήθηκε μοντελοποίηση του προβλήματος. Ο κωδικός προσομοιάστηκε με ομάδα προισμάτων και οι τιμές μαγνητικής επιδεκτικότητας που χρησιμοποιήθηκαν βασίστηκαν στις *in situ* μετρήσεις. Το αποτέλεσμα φαίνεται στο Σχήμα 2 όπου φαίνεται και η θέση του πρόσματος. Συγκρίνοντας τη μορφή της ανωμαλίας που μας δίνει το πρόσμα με τα μαγνητικά αποτελέσματα, προκύπτει το συμπέρασμα ότι η αρνητική ανωμαλία στο κέντρο της εικόνας οφείλεται στο θαμμένο κορμό. Η αναμενόμενη λοιπόν συνέχεια του κορμού όπως προκύπτει από το συνδυασμό των ηλεκτρικών και των μαγνητικών ανωμαλιών είναι αυτή που φαίνεται πάνω στο Σχήμα 2.

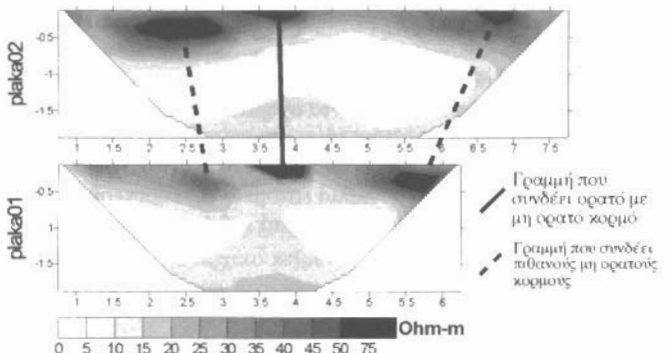
3. ΗΛΕΚΤΡΙΚΗ ΤΟΜΟΓΡΑΦΙΑ

Ο όρος ηλεκτρική τομογραφία (HT) περιγράφει γενικά έναν τύπο μετρήσεων της φαινόμενης ηλεκτρικής αντίστασης του υπεδάφους. Μπορεί να θεωρηθεί ως συνδυασμός δύο συμβατικών τεχνικών μέτρησης: της διευσης και της βυθοσκοπήσης. Ειδικότερα, η ηλεκτρική τομογραφία μπορεί να περιγραφεί σαν μία σειρά από συνεχόμενες ηλεκτρικές βυθοσκοπήσεις κατά μήκος της γραμμής έρευνας ή σαν μία σειρά από οδεύσεις πάνω από την ίδια περιοχή με διαδοχικά αυξανόμενες αποστάσεις ηλεκτροδίων. Με αυτόν τον τρόπο επιτυγχάνεται η λήψη πληροφορίας τόσο για την κατακόρυφη όσο και για την οριζόντια μεταβολή της ειδικής ηλεκτρικής αντίστασης στην περιοχή μελέτης και έτοι λαμβάνεται μία πληρόστερη "εικόνα" του υπεδάφους.

Για την ερμηνεία των μετρήσεων έχουν προταθεί νέες τεχνικές ερμηνείας και επεξεργασίας. Οι τεχνικές αυτές επιδιώκουν την επίλυση του αντίστροφου γεωλεκτρικού προβλήματος είτε με χρήση προσεγγιστικών μεθόδων, π.χ. μέθοδος Zhody-Barker, (Barker 1992), μέθοδος οπισθοπροβολής (Tsurlos et al. 1993), είτε με τη χρήση υπαρχόντων μη γοραμικών τεχνικών αντιστροφής (π.γ. Tripp et al. 1992) που προσαρμόζονται στο πρόβλημα της HT (Shima 1990, Tsurlos et al. 1995).

Η μέθοδος της ηλεκτρικής τομογραφίας εφαρμόστηκε σε θέσεις όπου υπήρχαν κατακείμενοι κορδοί οι οποίοι ήταν μερικώς αποκαλυψμένοι και το ένα άκρο τους παρέμενε μέσα στο έδαφος σε πραγματικές συνθήκες ταφής. Στις περιπτώσεις αυτές η τομογραφία υλοποιήθηκε στην νοητή προέκταση του κορδού έτσι ώστε να διαπιστωθεί η πιθανή συνέχειά του και να μελετηθούν τα χαρακτηριστικά της ανωμαλίας.

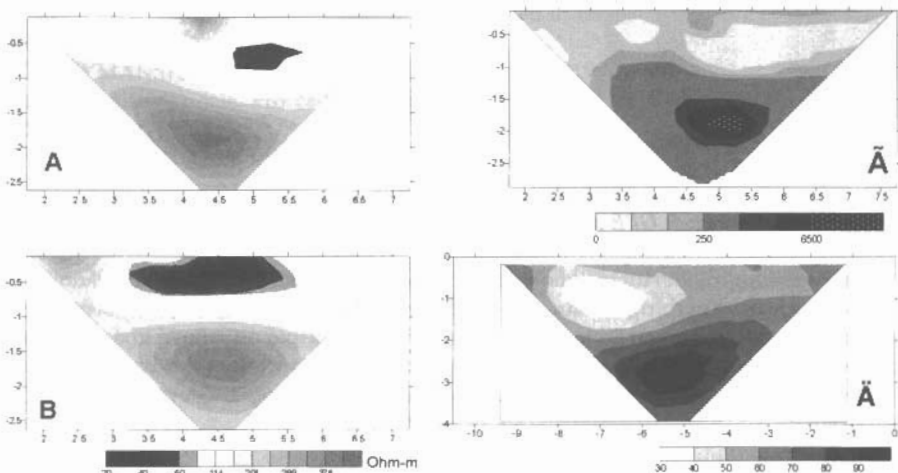
Η τομογραφία που παρουσιάζεται στο σχήμα που ακολουθεί πραγματοποιήθηκε στην περιοχή «Πλάκα» στη νοητή συνέχεια κατακείμενου ορατού κορδού που βρίσκεται σχεδόν στην επιφάνεια. Η τομογραφία τοποθετήθηκε έτσι ώστε ο κορδός να βρίσκεται στο κέντρο της τομογραφίας. Υλοποιήθηκε η διάταξη ηλεκτροδίων διπόλου-διπόλου και η απόσταση μεταξύ των ηλεκτροδίων ρεύματος και δυναμικού ήταν 0.5 μέτρο.



Σχ.3 Εικόνες αντιστροφής των τομογραφικών οδεύσεων plaka01 και plaka02. Με συνεχή γραμμή συνδέεται ορατός κορδός (τομογραφία plaka01) με πιθανή συνέχεια του και με διακομένη γραμμή συνδέονται πιθανοί μη ορατοί στόχοι που διακρίνονται στις δύο παράλληλες τομογραφίες.

Fig 3. Geoelectrical models of plaka01 and plaka02 traverses. Continuous line connects visible trunk (at plaka01) with its probable non-visible continuation. Discontinuous line connects probable non-visible targets.

Στην συγκεκριμένη περιοχή οι αποθέσεις χαρακτηρίζονται από σημαντική περιεκτικότητα σε αργιλικό υλικό (Σχ. 3) γεγονός που δικαιολογεί τις χαμηλές αντιστάσεις που εμφανίζει, ενώ το πυριτιωμένο υλικό του απολιθωμένου κορδού εμφανίζει αντιστάσεις μεγαλύτερες. Τα αποτελέσματα των τομογραφιών κρίνονται ιδιαίτερα θετικά αφού στο σημείο που προβλεπόταν η συνέχεια του κορδού είναι εμφανής η περιοχή αντιστάσεων μεγαλύτερων των $60\Omega\text{m}$. Στην προβλεπόμενη θέση εμφανίζεται η ίδια ανωμαλία και στην τομή plaka02 σε πολύ μικρό βάθος.



Σχ. 4. Γεωηλεκτρικά μοντέλα δύο διαστάσεων όπου φαίνονται περιοχές που αντιστοιχούν σε αναμενόμενες η Ψηφιακή Βίβλιοθηκή "Θεόφραστος" - Τμήμα Γ ενωσίγιας Α.Π.Θ.

Fig. 4. 2D geoelectrical models where dark anomalies show probable fossilized trunks.

Παράλληλα, παρατηρούνται δύο ακόμα αντίστοιχες ανωμαλίες σε λίγο μεγαλύτερο βάθος εκατέρωθεν της ανωμαλίας αυτής. Οι ανωμαλίες αυτές είναι πολύ πιθανό να αντιστοιχούν σε δύο άλλους κορδομούς που δεν έχουν επιφανειακή εμφάνιση.

Στα παρακάτω σχήματα παρουσιάζονται δύο ακόμα παραδείγματα όπου φαίνονται πιθανοί απολιθωμένοι κορδομοί σε γεωηλεκτρικά μοντέλα που προέκυψαν από αντιστροφή δεδομένων ηλεκτρικής τομογραφίας.

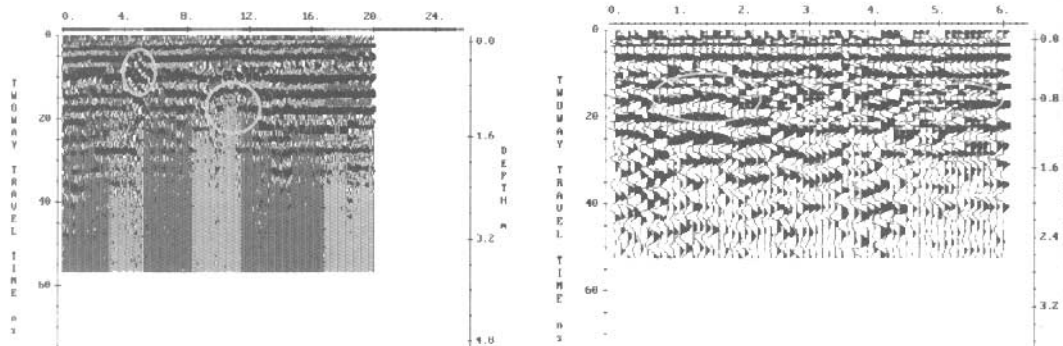
Οι τομογραφίες Α και Β αντιστοιχούν στις Park02 (Β) και Park03 (Α) (Σχήμα 2). Στην τομογραφική απεικόνιση Β ο κατακείμενος κορδομός είναι ορατός σε απόσταση λίγων εκατοστών από την αντίστοιχη τομογραφική δύνηση (σχήμα 2) και αντιστοιχεί στην μαύρη περιοχή που φαίνεται επιφανειακά και στο μέσο περίπου της απεικόνισης. Αντίστοιχα, στην τομογραφική απεικόνιση Α η συνέχεια αναμένεται επίσης στην μαύρη περιοχή. Σημαντικό εδώ είναι το στοιχείο ότι στην περιοχή αυτή η ανωμαλία που οφείλεται στον συγκεκριμένο κορδομό είναι αρνητική. Το γεγονός αυτό πιθανολογείται ότι οφείλεται στην σύνταση του περιβάλλοντος σχηματισμού σε συνδυασμό με την συνοχή του κορδομού που πιθανόν είναι κατακερματισμένος, γεγονός που του προσδίδει χαμηλότερη ηλεκτρική αντίσταση από τον περιβάλλοντα σχηματισμό. Στο λόγο αυτό πιθανόν οφείλεται και το γεγονός της μεγαλύτερης ανάπτυξης της ανωμαλίας στην τομογραφία Β (Park02).

Αντίθετα, στις τομογραφικές απεικονίσεις που βρίσκονται δεξιά στο σχήμα 4 και έγιναν μέσα στο απολιθωμένο δάσος (απεικόνιση Γ, πάνω δεξιά) και σε παλιό λατομείο της ευρύτερης περιοχής (απεικόνιση Δ, κάτω δεξιά) οι αναμενόμενοι κορδομοί εμφανίζονται αντιστάσεις κατά πολύ μεγαλύτερες από αυτές του περιβάλλοντος σχηματισμού.

4. ΥΠΕΔΑΦΙΟ PANTAP (GROUND PENETRATING RADAR - G.P.R.)

Η μέθοδος του γεωραντάρ στηρίζεται στην εκπομπή ραδιοχυμάτων, με συχνότητα συνήθως 1 ως 1000 MHz, προκειμένου να χαρτογραφηθούν δομές και χαρακτηριστικά του υπεδάφους που προέρχονται από επιφανειακές γεωλογικές ανακατατάξεις ή και ανθρώπινες επεμβάσεις.

Στην περίπτωση του απολιθωμένου δάσους αναμένονται ανακλάσεις των ηλεκτρομαγνητικών παλμών στις επάνω επιφάνειες των κορδών σε οποιαδήποτε θέση και να βρίσκονται αυτοί. Στα σχήματα που ακολουθούν παρουσιάζονται χαρακτηριστικές εικόνες από τα δεδομένα που συλλέχθηκαν στην περιοχή του πάρκου του Μουσείου στο Σίγρι και στην περιοχή Πλάκας.



Σχ.5. Τομές γεωραντάρ στο πάρκο Μουσείου (αριστερά) και Πλάκας (δεξιά)

Fig. 5. GPR measurements at the park of Sigri Museum.

Στα σχήματα αυτά παρατηρούνται υπερβολές που σχηματίζονται από επιφάνειες ανάκλασης που συσχετίζονται με ύπαρξη κορδών. Χαρακτηρίζονται από καθαρά τοπικές εμφανίσεις σε μία ή δύο συνεχόμενες παράλληλες οδεύσεις και σε πολύ μικρό βάθος γεγονός που είναι ενδεικτικό ότι πιθανά πρόκειται για κατακόρυφο κορδομό που όπως είναι αναμενόμενο, η κύρια επιφάνεια ανάκλασης είναι η πάνω διατομή του κορδομού. Κατακείμενοι κορδομοί διαπιστώνονται από την γραμμική συνέχεια που εμφανίζουν οι υπερβολές σε συνεχείς παραλλήλες οδεύσεις.

5. ΣΥΜΠΕΡΑΣΜΑΤΑ

Από την επεξεργασία των δεδομένων συνάγονται τα παρακάτω:

I. Ηλεκτρική τομογραφία. Λειτουργησε με πολύ ικανοποιητικά αποτελέσματα αφού σε όλα τα σημεία που ήταν αναμενόμενη η πρωτιάτικη προέλευση των "μέριδας και μενταλά" γεωλογίας του πραγματικές του διαστάσεις.

Προτείνεται σε διεσ τις περιπτώσεις που οι κυριοί αναμένεται να είναι κατακέίμενοι. Σε περίπτωση ιστάμενου κυριού θα πρέπει να έχει σημαντική διάμετρο έτοι ώπε να Ιφανεί καθαρά στην τομογραφία.

2. Μαγνητικές μετρήσεις. Τόσο με βάση τα θεωρητικά μοντέλα που κατασκευάστηκαν δύο με τις πραγματικές μετρήσεις διαπιστώθηκε ότι οι απολιθωμένοι κορμοί προκαλούν ανωμαλίες στο μαγνητικό πεδίο που τους κάνει ανιχνεύσιμους από την μέθοδο. Τα αποτελέσματα των έργων εκσκαφής σε πιλοτικά προτεινόμενα σημεία αναμένεται να δώσουν πληροφορίες σχετικές με την αντιστοιχία μεταξύ παρατηρημένων ανωμαλιών και μεγέθους-θέσης του κορμού. Ένα άλλο αναμενόμενο από τις πιλοτικές εκσκαφές θα είναι επίσης και η απόκριση των άργων λάβας που περιέχονται στα επικλαστικά ζήματα.

3. Μέθοδος υπεδάφιου φαντάρο. Σε αναμενόμενους στόχους που δοκιμάστηκε η μέθοδος φαντάρο διαπιστώθηκε ότι οι επιφάνειες των κοριμών αποτελούν ευδιάκριτες επιφάνειες ανάκλασης, με αποτέλεσμα η μέθοδος να κρίνεται ικανή στον εντοπισμό θαμμένων απολιθωμένων κοριμών. Από την μελέτη του συνόλου των μετρήσεων που έγιναν στην περιοχή επίσης, και που για λόγους οικονομίας χώρου δεν παρουσιάζονται στην εργασία, διαπιστώθηκε ότι σε ορισμένες περιπτώσεις ανωμαλίες στις εικόνες φαντάρο ταυτίστηκαν είτε με μαγνητικές ανωμαλίες είτε με περιοχές υψηλών αντιστάσεων στις ηλεκτρικές τομογραφίες.

ΕΥΧΑΡΙΣΤΙΕΣ

Ευχαριστούμε τους κριτές Ταξιάρχη Παπαδόπουλο και Ιωάννη Λούνη για την προσεκτική ανάγνωση και τις ουσιαστικές παραπτρησίες που έκαναν στο αρχικό κείμενο.

Η εργασία αυτή αποτελεί δημόσιευση του Εργαστηρίου Γεωφυσικής του Αριστοτελείου Πανεπιστημίου Θεσσαλονίκης με αριθμό 549/2001.

ВІВАЛІОГРАФІА

- BARKER R.D. (1992). A simple algorithm for electrical imaging of the subsurface. First Break, 10, 53-63.

BEATZ'ΕΛΟΣ Ε., ΖΟΥΡΟΣ Ν., ΣΕΡΑΪΔΗΣ Π. ΚΑΙ KONT'ΗΣ Ε. (1999). Συμβολή στη μελέτη της παλαιοχριστιανικής ιεράς του απολιθωμένου δάσους της Λέσβου-Δημιουργία του γεωπάρκου Σιγρίου, Δελτίο Ελληνικής Γεωλογικής Εταιρίας τομ. XXXIII, σελ. 89-98.

SAVVAIDIS A., TSOKAS G., LIRITZIS Y. AND M. APOSTOLOU (1999). The location and mapping of ancient ruins on the castle of Lefkas (Greece) by resistivity and GPR methods, Archaeological Prospection, 6, p63-73.

SHIMA H. (1990). 2-D automatic resistivity inversion technique using alpha centers. Geophysics, 55, 682-694.

TRIPP A., HOHM-MANN, G. AND SWIFT, C. (1992). 2-D resistivity inversion. Geophysics, 57, 1004-1013.

TSOKAS G.N., GIANNOPoulos A., TSOURLOS P., VARGEMEZIS G., TEALBY J.M., SARRIS A., PAPAZACHOS C.B., AND T. SAVOPOULOU (1994). A large scale geophysical survey in the archaeological site of Europos (northern Greece)Journal of Applied Geophysics 32, p.85-98.

TSOKAS G., PAPAZACHOS C.B., VAFIDIS A., LOUKOYIANNAKIS M.Z., VARGEMEZIS G. AND K. TZIMEAS (1995). The detection of monumental tombs buried in tumuli by seismic refraction, Geophysics, Vol. 60, No. 6, p. 1735-1742.

TSOURLOS P., SZYMANSKI J., DITTMER J. AND TSOKAS G. (1993). The use of back-projection for fast inversion of 2-D resistivity data. Proceedings of the 2nd congress of the Greek Geophysical Union, Florina Greece, 5-7 May, Vol. 1, 71-81.

TSOURLOS P., DITTMER J. AND SZYMANSKI J. (1995). A study of non-linear techniques for the 2-D inversion of earth resistivity data. Expanded abstracts of the 57th meeting of the EAEG: Glasgow, Scotland, 29 May-2 June, 1995, P031.

VELITZELOS, E. AND ZOUROS N. (1997). The Petrified Forest of Lesvos-Protected Natural Monument, Proceedings International Symposium on Engineering Geology and the environment, organized by the Greek National Group of IAEG/ATHENS/GREECE/23-27 JUNE 1997, pp3037-3043.